

Машинное обучение (Machine Learning)

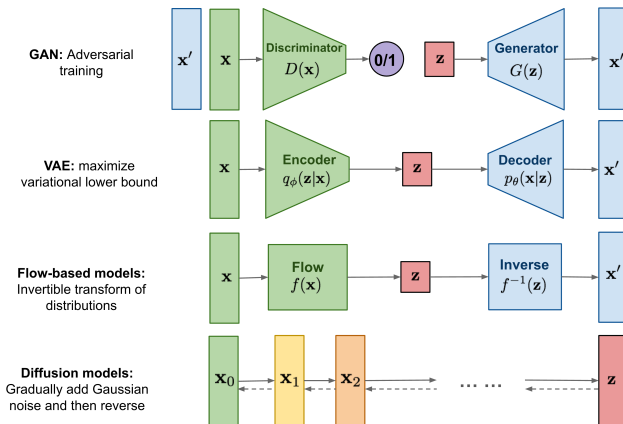
Диффузионные модели

Уткин Л.В.



- <https://lilianweng.github.io/posts/2021-07-11-diffusion-models/>
- Идея диффузионных моделей основана на идеях неравновесной термодинамики.
- Они определяют марковскую цепь шагов диффузии, чтобы медленно добавлять случайный шум к данным, а затем учатся обращать процесс диффузии вспять, чтобы создавать желаемые выборки данных из шума. В отличие от VAE, модели диффузии обучаются с помощью фиксированной процедуры, а скрытая переменная имеет высокую размерность (такую же, как исходные данные).

Отличие от других моделей



Прямой диффузионный процесс (1)

- Дана точка сгенерированная из реального распределения данных $\mathbf{x}_0 \sim q(\mathbf{x})$
- Определим прямой процесс диффузии, в котором поэтапно за T шагов добавляем небольшое количество гауссова шума к примеру, создавая последовательность зашумленных примеров $\mathbf{x}_1, \dots, \mathbf{x}_T$

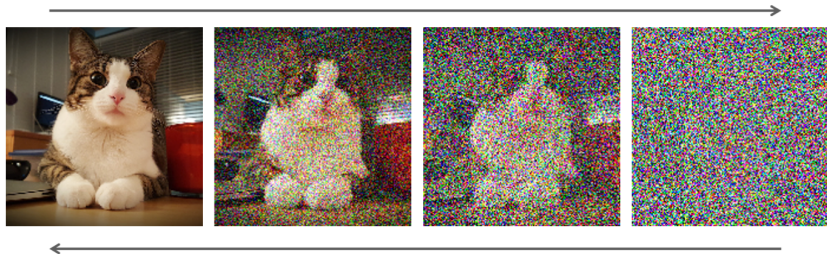
Прямой диффузионный процесс (2)

- Размеры шага контролируются дисперсией $\{\beta_t \in (0, 1)\}_{t=1}^T$ которая указывает, сколько шума мы хотим добавить на одном шаге

$$q(\mathbf{x}_t | \mathbf{x}_{t-1}) = \mathcal{N}(\mathbf{x}_t; \sqrt{1 - \beta_t} \mathbf{x}_{t-1}, \beta_t \mathbf{I}),$$
$$q(\mathbf{x}_{1:T} | \mathbf{x}_0) = \prod_{t=1}^T q(\mathbf{x}_t | \mathbf{x}_{t-1})$$

- Точка \mathbf{x}_0 постепенно теряет свои отличительные черты по мере увеличения шага t .

Прямой диффузионный процесс (3)



Прямой диффузионный процесс (4)

- Замечательное свойство процесса - мы можем генерировать \mathbf{x}_t на произвольном временном шаге t в явном виде, используя репараметризацию.
- Пусть $\alpha_t = 1 - \beta_t$ и $\bar{\alpha}_t = \prod_{i=1}^t \alpha_i$. Тогда

$$\begin{aligned}\mathbf{x}_t &= \sqrt{\alpha_t} \mathbf{x}_{t-1} + \sqrt{1 - \alpha_t} \epsilon_{t-1}; \epsilon_{t-1}, \epsilon_{t-2}, \dots \sim \mathcal{N}(\mathbf{0}, \mathbf{I}) \\ &= \sqrt{\alpha_t \alpha_{t-1}} \mathbf{x}_{t-2} + \sqrt{1 - \alpha_t \alpha_{t-1}} \bar{\epsilon}_{t-2}; \bar{\epsilon}_{t-2} \text{ объединяет 2 н.р.} \\ &= \dots \\ &= \sqrt{\bar{\alpha}_t} \mathbf{x}_0 + \sqrt{1 - \bar{\alpha}_t} \epsilon\end{aligned}$$

Итого

$$q(\mathbf{x}_t | \mathbf{x}_0) = \mathcal{N}(\mathbf{x}_t; \sqrt{\bar{\alpha}_t} \mathbf{x}_0, (1 - \bar{\alpha}_t) \mathbf{I})$$

Прямой диффузионный процесс (5)

- Напомним, что когда мы объединяем два норм. распред. с разной дисперсией $\mathcal{N}(\mathbf{0}, \sigma_1^2 \mathbf{I})$ и $\mathcal{N}(\mathbf{0}, \sigma_2^2 \mathbf{I})$, новое распределение $\mathcal{N}(\mathbf{0}, (\sigma_1^2 + \sigma_2^2) \mathbf{I})$.
- Здесь объединенное СКО равно $\sqrt{(1 - \alpha_t) + \alpha_t(1 - \alpha_{t-1})} = \sqrt{1 - \alpha_t \alpha_{t-1}}$.
- Обычно можно делать больший шаг обновления, когда пример становится более шумным, поэтому $\beta_1 < \beta_2 < \dots < \beta_T$ и $\bar{\alpha}_1 > \dots > \bar{\alpha}_T$

Связь со стохастической градиентной динамикой Ланжевена (1)

- Динамика Ланжевена — это понятие из физики (стат. модел-е молекулярных систем)
- В сочетании со SGD стохастическая градиентная динамика Ланжевена создает примеры из плотности $p(\mathbf{x})$, используя только градиенты $\nabla_{\mathbf{x}} \log p(\mathbf{x})$ в марковской цепи обновлений:

$$\mathbf{x}_t = \mathbf{x}_{t-1} + \frac{\delta}{2} \nabla_{\mathbf{x}} \log q(\mathbf{x}_{t-1}) + \sqrt{\delta} \epsilon_t, \text{ где } \epsilon_t \sim \mathcal{N}(\mathbf{0}, \mathbf{I})$$

где δ - размер шага.

Связь со стохастической градиентной динамикой Ланжевена (2)

- Когда $T \rightarrow \infty$, $\epsilon \rightarrow 0$, \mathbf{x}_T определяется истинной плотностью $p(\mathbf{x})$.
- По сравнению со стандартным SGD стохастическая градиентная динамика Ланжевена вводит гауссов шум в обновления параметров, чтобы избежать коллапса в локальные минимумы.

Обратный диффузионный процесс (1)

- Если мы сможем обратить описанный выше процесс и произвести выборку из $q(\mathbf{x}_{t-1}|\mathbf{x}_t)$, мы сможем воссоздать истинную выборку из входного гауссовского шума $\mathbf{x}_T \sim \mathcal{N}(\mathbf{0}, \mathbf{I})$.
- Если даже β_t достаточно мал, он также будет гауссовым.
- К сожалению, мы не можем просто оценить $q(\mathbf{x}_{t-1}|\mathbf{x}_t)$, т.к. для этого нужно использовать весь датасет, и поэтому нужно научить модель p_θ для аппроксимации этих условных вероятностей, чтобы запустить процесс обратной диффузии.

Обратный диффузионный процесс (2)

- К сожалению, мы не можем просто оценить $q(\mathbf{x}_{t-1}|\mathbf{x}_t)$, т.к. для этого нужно использовать весь датасет, и поэтому нужно научить модель p_θ для аппроксимации этих условных вероятностей, чтобы запустить процесс обратной диффузии.

$$p_\theta(\mathbf{x}_{0:T}) = p(\mathbf{x}_T) \prod_{t=1}^T p_\theta(\mathbf{x}_{t-1}|\mathbf{x}_t),$$

$$p_\theta(\mathbf{x}_{t-1}|\mathbf{x}_t) = \mathcal{N}(\mathbf{x}_{t-1}; \boldsymbol{\mu}_\theta(\mathbf{x}_t, t), \boldsymbol{\Sigma}_\theta(\mathbf{x}_t, t))$$

- “Обратная” условная вероятность поддается обработке, если она условна по \mathbf{x}_0

$$q(\mathbf{x}_{t-1}|\mathbf{x}_t, \mathbf{x}_0) = \mathcal{N}(\mathbf{x}_{t-1}; \tilde{\boldsymbol{\mu}}(\mathbf{x}_t, \mathbf{x}_0), \tilde{\boldsymbol{\beta}}_t \mathbf{I})$$

Обратный диффузионный процесс (3)

- Используем правило Байеса

$$\begin{aligned} q(\mathbf{x}_{t-1}|\mathbf{x}_t, \mathbf{x}_0) &= q(\mathbf{x}_t|\mathbf{x}_{t-1}, \mathbf{x}_0) \frac{q(\mathbf{x}_{t-1}|\mathbf{x}_0)}{q(\mathbf{x}_t|\mathbf{x}_0)} \\ &\propto \exp \left(-\frac{1}{2} \left(\frac{(\mathbf{x}_t - \sqrt{\alpha_t} \mathbf{x}_{t-1})^2}{\beta_t} \right. \right. \\ &\quad \left. \left. + \frac{(\mathbf{x}_{t-1} - \sqrt{\bar{\alpha}_{t-1}} \mathbf{x}_0)^2}{1 - \bar{\alpha}_{t-1}} - \frac{(\mathbf{x}_t - \sqrt{\bar{\alpha}_t} \mathbf{x}_0)^2}{1 - \bar{\alpha}_t} \right) \right) \end{aligned}$$

Обратный диффузионный процесс (4)

$$\begin{aligned} &= \exp \left(-\frac{1}{2} \left(\frac{\mathbf{x}_t^2 - 2\sqrt{\alpha_t}\mathbf{x}_t\mathbf{x}_{t-1} + \alpha_t\mathbf{x}_{t-1}^2}{\beta_t} \right. \right. \\ &+ \left. \frac{\mathbf{x}_{t-1}^2 - 2\sqrt{\bar{\alpha}_{t-1}}\mathbf{x}_0\mathbf{x}_{t-1} + \bar{\alpha}_{t-1}\mathbf{x}_0^2}{1 - \bar{\alpha}_{t-1}} - \frac{(\mathbf{x}_t - \sqrt{\bar{\alpha}_t}\mathbf{x}_0)^2}{1 - \bar{\alpha}_t} \right) \Bigg) \\ &= \exp \left(-\frac{1}{2} \left(\left(\frac{\alpha_t}{\beta_t} + \frac{1}{1 - \bar{\alpha}_{t-1}} \right) \mathbf{x}_{t-1}^2 \right. \right. \\ &- \left. \left(\frac{2\sqrt{\alpha_t}}{\beta_t}\mathbf{x}_t + \frac{2\sqrt{\bar{\alpha}_{t-1}}}{1 - \bar{\alpha}_{t-1}}\mathbf{x}_0 \right) \mathbf{x}_{t-1} + C(\mathbf{x}_t, \mathbf{x}_0) \right) + C(\mathbf{x}_t, \mathbf{x}_0) \Bigg) \end{aligned}$$

$C(\mathbf{x}_t, \mathbf{x}_0)$ - некоторая функция, не включающая \mathbf{x}_{t-1} .

Репараметризация среднего и дисперсии

Следуя функции плотности Гаусса и репараметризации среднего значения и дисперсии ($\alpha_t = 1 - \beta_t$ и $\bar{\alpha}_t = \prod_{i=1}^t \alpha_i$):

$$\begin{aligned}\tilde{\beta}_t &= 1 / \left(\frac{\alpha_t}{\beta_t} + \frac{1}{1 - \bar{\alpha}_{t-1}} \right) = 1 / \left(\frac{\alpha_t - \bar{\alpha}_t + \beta_t}{\beta_t(1 - \bar{\alpha}_{t-1})} \right) \\ &= \frac{1 - \bar{\alpha}_{t-1}}{1 - \bar{\alpha}_t} \cdot \beta_t\end{aligned}$$

Зачем репараметризация?

- Мы не можем распространять градиент обратно, когда осуществляется генерация выборки.
- Чтобы сделать процесс обучаемым, вводится прием репараметризации:
 - можно выразить случайную величину \mathbf{x} как детерминированную переменную $\mathbf{z} = F_\phi(\mathbf{x}, \varepsilon)$, где ε вспомогательная независимая случайная величина, а функция F_ϕ , параметризованная ϕ , преобразует ε в \mathbf{z} .
 - если $\mathbf{z} \sim \mathcal{N}(\mathbf{z}; \alpha, \beta \mathbf{I})$, то $\mathbf{z} = \alpha + \beta \odot \varepsilon$, где $\varepsilon \sim \mathcal{N}(\mathbf{0}, \mathbf{I})$

Обратный диффузионный процесс (6)

$$\begin{aligned}\tilde{\mu}_t(\mathbf{x}_t, \mathbf{x}_0) &= \left(\frac{\sqrt{\alpha_t}}{\beta_t} \mathbf{x}_t + \frac{\sqrt{\bar{\alpha}_{t-1}}}{1 - \bar{\alpha}_{t-1}} \mathbf{x}_0 \right) / \left(\frac{\alpha_t}{\beta_t} + \frac{1}{1 - \bar{\alpha}_{t-1}} \right) \\ &= \left(\frac{\sqrt{\alpha_t}}{\beta_t} \mathbf{x}_t + \frac{\sqrt{\bar{\alpha}_{t-1}}}{1 - \bar{\alpha}_{t-1}} \mathbf{x}_0 \right) \\ &\quad \times \frac{1 - \bar{\alpha}_{t-1}}{1 - \bar{\alpha}_t} \cdot \beta_t \\ &= \frac{\sqrt{\alpha_t}(1 - \bar{\alpha}_{t-1})}{1 - \bar{\alpha}_t} \mathbf{x}_t + \frac{\sqrt{\bar{\alpha}_{t-1}}\beta_t}{1 - \bar{\alpha}_t} \mathbf{x}_0\end{aligned}$$

Обратный диффузионный процесс (7)

Так как $\mathbf{x}_0 = \frac{1}{\sqrt{\bar{\alpha}_t}}(\mathbf{x}_t - \sqrt{1 - \bar{\alpha}_t}\epsilon_t)$, то

$$\begin{aligned}\tilde{\boldsymbol{\mu}}_t &= \frac{\sqrt{\alpha_t}(1 - \bar{\alpha}_{t-1})}{1 - \bar{\alpha}_t}\mathbf{x}_t + \frac{\sqrt{\bar{\alpha}_{t-1}}\beta_t}{1 - \bar{\alpha}_t}\frac{1}{\sqrt{\bar{\alpha}_t}}(\mathbf{x}_t - \sqrt{1 - \bar{\alpha}_t}\epsilon_t) \\ &= \frac{1}{\sqrt{\alpha_t}}\left(\mathbf{x}_t - \frac{1 - \alpha_t}{\sqrt{1 - \bar{\alpha}_t}}\epsilon_t\right)\end{aligned}$$

ELBO - по аналогии с VAE

$$\begin{aligned} -\log p_{\theta}(\mathbf{x}_0) &\leq -\log p_{\theta}(\mathbf{x}_0) + D_{\text{KL}}(q(\mathbf{x}_{1:T}|\mathbf{x}_0) \| p_{\theta}(\mathbf{x}_{1:T}|\mathbf{x}_0)) \\ &= -\log p_{\theta}(\mathbf{x}_0) + \mathbb{E}_{\mathbf{x}_{1:T} \sim q(\mathbf{x}_{1:T}|\mathbf{x}_0)} \left[\log \frac{q(\mathbf{x}_{1:T}|\mathbf{x}_0)}{p_{\theta}(\mathbf{x}_{0:T})/p_{\theta}(\mathbf{x}_0)} \right] \\ &= -\log p_{\theta}(\mathbf{x}_0) + \mathbb{E}_q \left[\log \frac{q(\mathbf{x}_{1:T}|\mathbf{x}_0)}{p_{\theta}(\mathbf{x}_{0:T})} + \log p_{\theta}(\mathbf{x}_0) \right] \\ &= \mathbb{E}_q \left[\log \frac{q(\mathbf{x}_{1:T}|\mathbf{x}_0)}{p_{\theta}(\mathbf{x}_{0:T})} \right] \end{aligned}$$

ELBO - по аналогии с VAE

- Устанавливаем границу L_{VLB} . Пусть

$$L_{VLB} = \mathbb{E}_{q(\mathbf{x}_{0:T})} \left(\log \frac{q(\mathbf{x}_{1:T}|\mathbf{x}_0)}{p_\theta(\mathbf{x}_{0:T})} \right) \geq -\mathbb{E}_{q(\mathbf{x}_0)} \log p_\theta(\mathbf{x}_0)$$

- Также легко получить тот же результат, используя неравенство Йенсена. Пусть мы хотим минимизировать кросс-энтропию в качестве цели обучения:

$$\begin{aligned} L_{CE} &= -\mathbb{E}_{q(\mathbf{x}_0)} \log p_\theta(\mathbf{x}_0) \\ &= -\mathbb{E}_{q(\mathbf{x}_0)} \log \left(\int p_\theta(\mathbf{x}_{0:T}) d\mathbf{x}_{1:T} \right) \\ &= -\mathbb{E}_{q(\mathbf{x}_0)} \log \left(\int q(\mathbf{x}_{1:T}|\mathbf{x}_0) \frac{p_\theta(\mathbf{x}_{0:T})}{q(\mathbf{x}_{1:T}|\mathbf{x}_0)} d\mathbf{x}_{1:T} \right) \end{aligned}$$

Неравенство Йенсена

$$\begin{aligned} L_{\text{CE}} &= -\mathbb{E}_{q(\mathbf{x}_0)} \log \left(\mathbb{E}_{q(\mathbf{x}_{1:T}|\mathbf{x}_0)} \frac{p_{\theta}(\mathbf{x}_{0:T})}{q(\mathbf{x}_{1:T}|\mathbf{x}_0)} \right) \\ &\leq -\mathbb{E}_{q(\mathbf{x}_{0:T})} \log \frac{p_{\theta}(\mathbf{x}_{0:T})}{q(\mathbf{x}_{1:T}|\mathbf{x}_0)} \\ &= \mathbb{E}_{q(\mathbf{x}_{0:T})} \left[\log \frac{q(\mathbf{x}_{1:T}|\mathbf{x}_0)}{p_{\theta}(\mathbf{x}_{0:T})} \right] = L_{\text{VLB}} \end{aligned}$$

Неравенство Йенсена: $f(\sum_{i=1}^n q_i x_i) \leq \sum_{i=1}^n q_i f(x_i)$, если $f(x_i)$ - выпуклые и $q_1 + \dots + q_n = 1$, $q_i \geq 0$

Дальнейшее преобразование

Представим L_{VLB} как комбинацию нескольких членов KL-дивергенции и энтропии:

$$\begin{aligned} L_{\text{VLB}} &= \mathbb{E}_{q(\mathbf{x}_{0:T})} \left[\log \frac{q(\mathbf{x}_{1:T}|\mathbf{x}_0)}{p_\theta(\mathbf{x}_{0:T})} \right] \\ &= \mathbb{E}_q \left[\log \frac{\prod_{t=1}^T q(\mathbf{x}_t|\mathbf{x}_{t-1})}{p_\theta(\mathbf{x}_T) \prod_{t=1}^T p_\theta(\mathbf{x}_{t-1}|\mathbf{x}_t)} \right] \\ &= \mathbb{E}_q \left[-\log p_\theta(\mathbf{x}_T) + \sum_{t=1}^T \log \frac{q(\mathbf{x}_t|\mathbf{x}_{t-1})}{p_\theta(\mathbf{x}_{t-1}|\mathbf{x}_t)} \right] \\ &= \end{aligned}$$

Дальнейшее преобразование

$$\begin{aligned} &= \mathbb{E}_q \left[-\log p_\theta(\mathbf{x}_T) + \sum_{t=2}^T \log \frac{q(\mathbf{x}_t | \mathbf{x}_{t-1})}{p_\theta(\mathbf{x}_{t-1} | \mathbf{x}_t)} + \log \frac{q(\mathbf{x}_1 | \mathbf{x}_0)}{p_\theta(\mathbf{x}_0 | \mathbf{x}_1)} \right] \\ &= \mathbb{E}_q \left[-\log p_\theta(\mathbf{x}_T) + \sum_{t=2}^T \log \left(\frac{q(\mathbf{x}_{t-1} | \mathbf{x}_t, \mathbf{x}_0)}{p_\theta(\mathbf{x}_{t-1} | \mathbf{x}_t)} \cdot \frac{q(\mathbf{x}_t | \mathbf{x}_0)}{q(\mathbf{x}_{t-1} | \mathbf{x}_0)} \right) \right. \\ &\quad \left. + \log \frac{q(\mathbf{x}_1 | \mathbf{x}_0)}{p_\theta(\mathbf{x}_0 | \mathbf{x}_1)} \right] = \end{aligned}$$

Дальнейшее преобразование

$$\begin{aligned} &= \mathbb{E}_q \left[\log \frac{q(\mathbf{x}_T | \mathbf{x}_0)}{p_\theta(\mathbf{x}_T)} \right. \\ &+ \left. \sum_{t=2}^T \log \frac{q(\mathbf{x}_{t-1} | \mathbf{x}_t, \mathbf{x}_0)}{p_\theta(\mathbf{x}_{t-1} | \mathbf{x}_t)} - \log p_\theta(\mathbf{x}_0 | \mathbf{x}_1) \right] \\ &= \mathbb{E}_q \left[\underbrace{D_{\text{KL}}(q(\mathbf{x}_T | \mathbf{x}_0) \parallel p_\theta(\mathbf{x}_T))}_{L_T} \right. \\ &+ \left. \sum_{t=2}^T \underbrace{D_{\text{KL}}(q(\mathbf{x}_{t-1} | \mathbf{x}_t, \mathbf{x}_0) \parallel p_\theta(\mathbf{x}_{t-1} | \mathbf{x}_t))}_{L_{t-1}} - \underbrace{\log p_\theta(\mathbf{x}_0 | \mathbf{x}_1)}_{L_0} \right] \end{aligned}$$

Дальнейшее преобразование

$$L_{\text{VLB}} = L_T + L_{T-1} + \cdots + L_0$$

где

$$L_T = D_{\text{KL}}(q(\mathbf{x}_T|\mathbf{x}_0) \parallel p_{\theta}(\mathbf{x}_T))$$

$$L_t = D_{\text{KL}}(q(\mathbf{x}_t|\mathbf{x}_{t+1}, \mathbf{x}_0) \parallel p_{\theta}(\mathbf{x}_t|\mathbf{x}_{t+1})), \quad 1 \leq t \leq T-1$$

$$L_0 = -\log p_{\theta}(\mathbf{x}_0|\mathbf{x}_1)$$

В итоге

- Каждый член KL в L_{VLB} (кроме L_0) сравнивает два распределения Гаусса, и поэтому они могут быть вычислены в явном виде.
- L_T является постоянной и может быть проигнорировано во время обучения, поскольку q не имеет обучаемых параметров и \mathbf{x}_T является гауссовским шумом.

Параметризация потерь для обучения (1)

- Напомним, что нам нужно обучить нейронную сеть для аппроксимации условных распределений вероятностей в процессе обратной диффузии

$$p_{\theta}(\mathbf{x}_{t-1}|\mathbf{x}_t) = \mathcal{N}(\mathbf{x}_{t-1}; \boldsymbol{\mu}_{\theta}(\mathbf{x}_t, t), \boldsymbol{\Sigma}_{\theta}(\mathbf{x}_t, t))$$

- Хотим обучить $\boldsymbol{\mu}_{\theta}$, чтобы предсказывать

$$\tilde{\boldsymbol{\mu}}_t = \frac{1}{\sqrt{\alpha_t}} \left(\mathbf{x}_t - \frac{1 - \alpha_t}{\sqrt{1 - \bar{\alpha}_t}} \boldsymbol{\epsilon}_t \right)$$

Параметризация потерь для обучения (2)

- Поскольку \mathbf{x}_t доступен в качестве входных данных во время обучения, мы можем репараметризовать член гауссовского шума, чтобы он предсказывал ϵ_t на основе входных данных \mathbf{x}_t на шаге t :

$$\mu_{\theta}(\mathbf{x}_t, t) = \frac{1}{\sqrt{\alpha_t}} \left(\mathbf{x}_t - \frac{1 - \alpha_t}{\sqrt{1 - \bar{\alpha}_t}} \epsilon_{\theta}(\mathbf{x}_t, t) \right)$$

- Отсюда

$$\mathbf{x}_{t-1} = \mathcal{N}(\mathbf{x}_{t-1}; \frac{1}{\sqrt{\alpha_t}} \left(\mathbf{x}_t - \frac{1 - \alpha_t}{\sqrt{1 - \bar{\alpha}_t}} \epsilon_{\theta}(\mathbf{x}_t, t) \right), \Sigma_{\theta}(\mathbf{x}_t, t))$$

Параметризация потерь для обучения (3)

- L_t параметризуется, чтобы минимизировать разницу с $\tilde{\mu}$.

$$\begin{aligned} L_t &= \mathbb{E}_{\mathbf{x}_0, \epsilon} \left[\frac{1}{2 \|\boldsymbol{\Sigma}_\theta(\mathbf{x}_t, t)\|_2^2} \|\tilde{\mu}_t(\mathbf{x}_t, \mathbf{x}_0) - \mu_\theta(\mathbf{x}_t, t)\|^2 \right] \\ &= \mathbb{E}_{\mathbf{x}_0, \epsilon} \left[\frac{1}{2 \|\boldsymbol{\Sigma}_\theta\|_2^2} \left\| \frac{1}{\sqrt{\alpha_t}} \left(\mathbf{x}_t - \frac{1 - \alpha_t}{\sqrt{1 - \bar{\alpha}_t}} \epsilon_t \right) \right. \right. \\ &\quad \left. \left. - \frac{1}{\sqrt{\alpha_t}} \left(\mathbf{x}_t - \frac{1 - \alpha_t}{\sqrt{1 - \bar{\alpha}_t}} \epsilon_\theta(\mathbf{x}_t, t) \right) \right\|^2 \right] \\ &= \mathbb{E}_{\mathbf{x}_0, \epsilon} \left[\frac{(1 - \alpha_t)^2}{2 \alpha_t (1 - \bar{\alpha}_t) \|\boldsymbol{\Sigma}_\theta\|_2^2} \|\epsilon_t - \epsilon_\theta(\mathbf{x}_t, t)\|^2 \right] \\ &= \mathbb{E}_{\mathbf{x}_0, \epsilon} \left[\frac{(1 - \alpha_t)^2}{2 \alpha_t (1 - \bar{\alpha}_t) \|\boldsymbol{\Sigma}_\theta\|_2^2} \right. \\ &\quad \left. \times \|\epsilon_t - \epsilon_\theta(\sqrt{\bar{\alpha}_t} \mathbf{x}_0 + \sqrt{1 - \bar{\alpha}_t} \epsilon_t, t)\|^2 \right] \end{aligned}$$

Упрощение

- Обучение диффузионной модели лучше работает с упрощенной целевой функцией, которая игнорирует весовой коэффициент:

$$\begin{aligned} L_t^{\text{simple}} &= \mathbb{E}_{t \sim [1, T], \mathbf{x}_0, \epsilon_t} \left[\|\epsilon_t - \epsilon_\theta(\mathbf{x}_t, t)\|^2 \right] \\ &= \mathbb{E}_{t \sim [1, T], \mathbf{x}_0, \epsilon_t} \left[\|\epsilon_t - \epsilon_\theta(\sqrt{\bar{\alpha}_t} \mathbf{x}_0 + \sqrt{1 - \bar{\alpha}_t} \epsilon_t, t)\|^2 \right] \end{aligned}$$

- Окончательно $L_{\text{simple}} = L_t^{\text{simple}} + C$, где C - константа, независящая от θ .

Алгоритм обучения

Algorithm 1 Training

- 1: **repeat**
 - 2: $\mathbf{x}_0 \sim q(\mathbf{x}_0)$
 - 3: $t \sim \text{Uniform}(\{1, \dots, T\})$
 - 4: $\boldsymbol{\epsilon} \sim \mathcal{N}(\mathbf{0}, \mathbf{I})$
 - 5: Take gradient descent step on
$$\nabla_{\theta} \left\| \boldsymbol{\epsilon} - \boldsymbol{\epsilon}_{\theta}(\sqrt{\bar{\alpha}_t} \mathbf{x}_0 + \sqrt{1 - \bar{\alpha}_t} \boldsymbol{\epsilon}, t) \right\|^2$$
 - 6: **until** converged
-

Алгоритм генерации

Algorithm 2 Sampling

```
1:  $\mathbf{x}_T \sim \mathcal{N}(\mathbf{0}, \mathbf{I})$ 
2: for  $t = T, \dots, 1$  do
3:    $\mathbf{z} \sim \mathcal{N}(\mathbf{0}, \mathbf{I})$  if  $t > 1$ , else  $\mathbf{z} = \mathbf{0}$ 
4:    $\mathbf{x}_{t-1} = \frac{1}{\sqrt{\alpha_t}} \left( \mathbf{x}_t - \frac{1-\alpha_t}{\sqrt{1-\bar{\alpha}_t}} \boldsymbol{\epsilon}_{\theta}(\mathbf{x}_t, t) \right) + \sigma_t \mathbf{z}$ 
5: end for
6: return  $\mathbf{x}_0$ 
```

Вопросы

?